

ОСИЛЛЯЦИИ ПОПЕРЕЧНОГО МАГНИТОСОПРОТИВЛЕНИЯ МИКРОКОНТАКТА

И.Б. Левинсон, Е.В. Сухоруков, А.В. Хаецкий

Рассчитано поперечное магнитосопротивление баллистического микроконтакта в модели "отверстие в экране". Предсказано существование классических осцилляций магнитосопротивления в функции магнитного поля, связанных с геометрическим резонансом между размером отверстия и ларморовским радиусом.

Микроконтакт есть перемычка между двумя массивными участками проводника, размеры которой d меньше длины пробега электрона l (баллистический МК) или длины остывания электрона \tilde{l} (диффузионный МК, при этом $d \gg l$). Исследование МК было начато Шарвиным в экспериментах по фокусировке электронов¹ и продолжено Янсоном с сотрудниками в экспериментах по спектроскопии фононов^{2,3}.

Приложенная к массивным берегам разность потенциалов V падает в области МК размера d , где и формируется сопротивление МК R . Магнитное поле H повлияет на R , если ларморовский радиус $r_L \lesssim d$ (для баллистического МК) или $r_L \lesssim l$ (для диффузионного МК). Для обычных МК это означает $r_L \lesssim 300 \text{ \AA}$, что соответствует (для меди) очень большим полям $H \gtrsim 3000 \text{ кЭ}$. Развитая в последнее время методика⁴ позволяет изготавливать баллистические МК с размерами $d \approx 3 \text{ мкм}$. Такие МК должны обнаруживать магнитосопротивление в области достижимых полей $H \approx 30 \text{ кЭ}$.

В настоящей работе вычислено сопротивление баллистического МК $R(H)$ в модели "отверстие в экране", для поля H параллельного плоскости экрана. При $H = 0$ сопротивление МК в такой модели⁵

$$R^{-1} = \frac{1}{2} g_F e^2 \int dS \langle v_n(\mathbf{p}) \text{sign}(\mathbf{r}, \mathbf{p}) \rangle. \quad (1)$$

Здесь интегрирование идет по точкам \mathbf{r} отверстия, скобки обозначают усреднение по точкам \mathbf{p} поверхности Ферми, v_n — компонента скорости нормальная к плоскости экрана, g_F — плотность состояний на $n\phi$ (нормаль направлена по току). Функция $\text{sign}(\mathbf{r}, \mathbf{p}) = \pm 1$. Ее знак совпадает со знаком приложенного потенциала на той бесконечности, откуда приходит траектория электрона, оказавшегося в точке \mathbf{r} с импульсом \mathbf{p} . Можно показать, что эта формула остается справедливой и при $H \neq 0$, причем если вычисляется омическое сопротивление R , то траектории следует строить без учета электрического поля вблизи отверстия. Таким образом, вычисление $R(H)$ сводится к принципиально простой, но чрезвычайно громоздкой задаче классификации траекторий по их топологии. Ниже рассматривается прямоугольное отверстие ($a \times b$), с размером $b \parallel H$, отражение от плоскости экрана считается зеркальным, $n\phi$ — сферической. Даже в этом случае выражение для $R(H)$ получается настолько громоздким, что мы приведем только его асимптотики в сильных и слабых полях H . Введем безразмерное поле $h = b/2\pi r_L$, где $r_L = v_F/\omega_c$, $\omega_c = eH/mc$ и $\eta = a/b$. Если поле сильное, так что $r_L \ll a, b$ ($h \gg 1$) имеем

$$\frac{R^{-1}(H)}{R^{-1}(0)} = \frac{2}{3\pi} \frac{1}{h} \left[\frac{4}{\pi^2} + \frac{1}{\eta} + \frac{6}{\pi^3} \frac{1}{h^{3/2}} \sum_{s=1}^{\infty} \frac{1}{s^{3/2}(4s^2-1)} \sin\left(2\pi \text{sh} + \frac{\pi}{4}\right) \right] \quad (2)$$

В слабом поле, когда $r_L \gg a, b$ ($h \ll 1$) имеем

$$[R^{-1}(H) - R^{-1}(0)] / R^{-1}(0) = -h^2 \varphi(\eta). \quad (3)$$

Явное выражение для $\varphi(\eta)$ не очень существенно. Укажем, что

$$\varphi(\eta) = \begin{cases} (\pi^2/3)\eta^2, & \eta \ll 1 \\ (\pi/3)\eta, & \eta \gg 1. \end{cases} \quad (4)$$

Перейдем теперь к физической интерпретации результатов. Рассмотрим для этого траектории электронов, проходящие через точки отверстия. При $H = 0$ траектории суть прямые, при $H \neq 0$ они составлены из отрезков спиралей. (радиуса v_{\perp}/ω_c с шагом $2\pi v_{\parallel}/\omega_c$), соединяющихся в точках отражения от экрана. Здесь v_{\perp} и v_{\parallel} — составляющие скорости v_F поперек и вдоль H . Проекция траекторий на плоскость перпендикулярную H показаны на рис. 1.

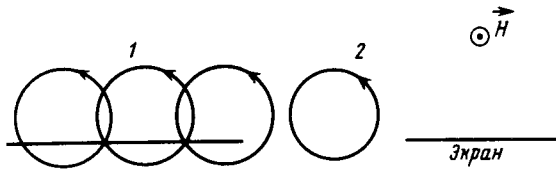


Рис. 1. Проекция различных траекторий электрона на плоскость, перпендикулярную H

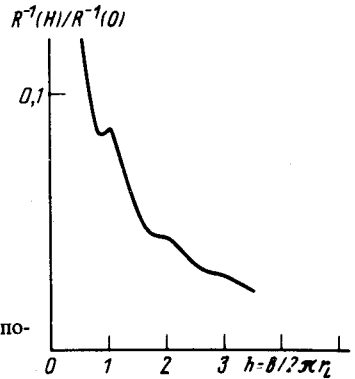


Рис. 2. Зависимость тока через МК от магнитного поля в случае $a \gg r_L$

Рассмотрим сначала сильные поля. Траектории типа 1 пересекают плоскость отверстия S только один раз, как и при $H = 0$, однако они дают вклад в ток только на полосках ширины v_{\perp}/ω_c , примыкающих к краям отверстия длины b . С этими траекториями связан монотонный вклад в $R^{-1}(H)$, убывающий как $1/H$. Траектории типа 2 могут пересекать S много раз, порядка $b\omega_c/v_{\parallel}$. С ростом H число пересечений растет, переходя от четного, когда вклада в ток нет, к нечетному, когда имеется вклад в ток от пересечений на полосках ширины v_{\parallel}/ω_c , примыкающих к краям отверстия длины a . С этими траекториями, помимо монотонного вклада в $R^{-1}(H)$, убывающего как $1/H$, связан вклад, осциллирующий по H с периодом $\Delta H = 2\pi m v_F / eb$ и убывающий как $1/H^{5/2}$. Эти осцилляции напоминают осцилляции Зондгеймера сопротивления пленки⁶. Очевидно, что осцилляции должны быть максимальными в области полей, когда $h \approx 1$. На рис. 2 представлена вычисленная на ЭВМ зависимость $R^{-1}(H)/R^{-1}(0)$ от H в этой области полей для случая $a \gg r_L$. Наличие осцилляций проявляется в существовании участков резкого выполаживания кривой вблизи целочисленных h .

Перейдем теперь к случаю слабых полей. Траектории типа 1 дают вклад в ток на всей площади S , причем точно такой же как при $H = 0$. Среди траекторий типа 2 следует различать траектории с малым радиусом $v_{\perp}/\omega_c \approx a \ll r_L$ и с нормальным радиусом порядка r_L . Первые имеют шаг спирали $2\pi v_{\parallel}/\omega_c \approx 2\pi r_L \gg b$, пересекают S один раз и поэтому тоже дают вклад в ток такой же как при $H = 0$. Таким образом, магнитосопротивление (3) обусловлено траекториями типа 2 с радиусом порядка $r_L \gg a$. Доля таких траекторий среди всех траекторий, проходящих через фиксированную точку отверстия порядка a/r_L . Скорость v_n в (1) для таких траекторий порядка $v_F(a/r_L)$. Поэтому магнитосопротивление порядка $(a/r_L)^2$, в согласии с (3) при $b \gg a$. При $b \ll a$ эту оценку следует домножить на малый фактор b/a , так как только электроны с малой $v_{\parallel} \sim v_F(b/a)$ могут пересечь отверстие S два раза, и поэтому дать вклад в магнитосопротивление.

Поскольку осцилляции $R(H)$ связаны с геометрическим резонансом, можно думать, что они сохранятся и при учете диффузности рассеяния на экране.

Авторы благодарны Л.И. Глазману, А.Ю. Касумову, Ю.В. Шарвину и Р.И. Шехтеру за обсуждение, а также С.И. Зайцеву за содействие в проведении численных расчетов.

Литература

1. Шарвин Ю.В. ЖЭТФ, 1965, 48, 984.
2. Янсон И.К., Шкляревский О.И. ФНТ, 1986, 12, 899.
3. Jansen A.G., Gelder A.P., Wyder P. J. Phys. C., 1980, 13, 6073.
4. Вдовин Е.Е., Касумов А.Ю., Копецкий Ч.В., Левинсон И.Б. ЖЭТФ, 1987, 92, №3.
5. Кулик И.О., Омелянчук А.Н., Шехтер Р.И. ФНТ, 1977, 3, 1543.
6. Sondheimer E.H. Phys. Rev., 1950, 80, 401.

Институт проблем технологии
микроэлектроники и особочистых материалов
Академии наук СССР

Поступила в редакцию
4 февраля 1987 г.